

# ВЛИЯНИЕ СПИНОВЫХ КРОССОВЕРОВ НА ПЕРЕХОД МОТТА – ХАББАРДА ПРИ ВЫСОКИХ ДАВЛЕНИЯХ

*C. Г. Овчинников\**

*Институт физики им. Л. В. Киренского Сибирского отделения Российской академии наук  
660036, Красноярск, Россия*

*Сибирский федеральный университет  
660041, Красноярск, Россия*

Поступила в редакцию 1 февраля 2008 г.

В рамках многоэлектронного подхода к описанию электронной структуры моттовских диэлектриков проанализировано влияние спиновых кроссоверов в  $d^n$ -термах на величину эффективного параметра Хаббарда  $U_{eff}$ , определяющего щель между нижней и верхней хаббардовскими зонами. Для  $d^5$ -ионов получен новый механизм перехода диэлектрик–металл за счет уменьшения  $U_{eff}$  при спиновом кроссовере. Для других ионов  $U_{eff}$  либо не зависит от давления ( $d^2, d^4, d^7$ ), либо немонотонно растет ( $d^3, d^6, d^8$ ).

PACS: 71.27.+a, 74.20.-z

## 1. ВВЕДЕНИЕ

Хорошо известно, что для модели Хаббарда сильные электронные корреляции расщепляют одноэлектронную зону на нижнюю и верхнюю хаббардовские подзоны (соответственно LHB и UHB). С ростом ширины зоны  $2W$  щель уменьшается и при достижении критического значения  $W_c = aU$ , где  $a \sim 1$ , происходит переход Мотта–Хаббарда [1, 2]. Причины увеличения ширины зоны может быть уменьшение межатомного расстояния с ростом давления или при изовалентном замещении в твердых растворах с разными ионными радиусами («химическое» давление). При этом параметр Хаббарда внутриатомного кулоновского отталкивания  $U$  считается не зависящим от давления.

Для соединений 3d-металлов с преобладающим типом ионной связи (оксиды, галогениды и т. д.) эффекты сильных электронных корреляций определяют диэлектрические и магнитные свойства в режиме моттовских диэлектриков. Идеи, заложенные в модель Хаббарда, должны быть дополнены учетом многоорбитальности и наличия анионных  $sp$ -состояний. В низкоэнергетической области эффективный гамильтониан, тем не менее, может быть

представлен в виде обобщенной модели Хаббарда, построенной на базисе локальных многоэлектронных термов  $d^n, d^{n+1}$  и  $d^{n-1}$ , аналогично тому, как модель Хаббарда формируется на базисе локальных  $d^1-, d^2-, d^0$ -термов. Важное отличие обобщенной модели Хаббарда от стандартной заключается в величинах спинов термов  $d^n, d^{n+1}$  и  $d^{n-1}$ , которые могут принимать различные значения  $0 \leq S \leq 5/2$ .

Если катион имеет  $3d^n$ -конфигурацию незаполненной  $d$ -оболочки, то можно ввести эффективный параметр Хаббарда  $U_{eff} = E_0(d^{n+1}) + E_0(d^{n-1}) - 2E_0(d^n)$  [3], определяющий щель между верхней хаббардовской зоной с энергией  $\Omega_c = E_0(d^{n+1}) - E_0(d^n)$  и нижней хаббардовской зоной  $\Omega_v = E_0(d^n) - E_0(d^{n-1})$ . Здесь  $E_0(d^n)$  есть энергия основного терма для  $d^n$ -конфигурации. В зависимости от соотношения между уровнем  $\Omega_v$  и энергией потолка заполненной зоны  $\varepsilon_v$ , сформированной, в основном,  $p$ -состояниями аниона, диэлектрическая щель  $E_g$  определяется либо величиной  $U_{eff}$  (диэлектрик Мотта–Хаббарда по классификации [4]) при  $\Omega_v > \varepsilon_v$ , либо  $E_g = \Omega_c - \varepsilon_v$  при  $\Omega_v < \varepsilon_v$  (диэлектрик с переносом заряда).

В настоящей работе рассмотрим влияние конкуренции различных спиновых состояний  $d^n$ -иона и кроссовера между ними при уменьшении межатомного расстояния на электронную структуру. Как

\*E-mail: sgo@iph.krasn.ru

оказалось, параметр  $U_{eff}$  зависит от величины кристаллического поля  $\Delta = 10Dq$  для кристаллов с локальной кубической симметрией катиона, которое увеличивается с ростом давления. В точках спинового кроссовера зависимость  $U_{eff}(\Delta)$  меняется, причем для разных  $d^n$ -конфигураций по-своему. Так, для  $d^5$ -ионов  $U_{eff}$  уменьшается при спиновом кроссовере, для  $d^6$ -ионов, наоборот, растет. В работе получены зависимости  $U_{eff}(\Delta)$  для  $1 \leq n \leq 9$ . Для систем с  $d^5$ -ионами ( $Fe^{3+}$ ,  $Mn^{2+}$ ) выявлен новый механизм перехода Мотта–Хаббарда, обусловленный уменьшением корреляционной энергии с ростом давления.

## 2. СПИНОВЫЕ КРОССОВЕРЫ ДЛЯ $d^n$ -ТЕРМОВ

Для ионных кристаллов энергии термов  $d^n$ -конфигураций в кубическом кристаллическом поле давно получены численно, это так называемые диаграммы Танабэ–Сугано [5]. В этом разделе мы воспроизведем их в упрощенной модели, допускающей простые аналитические выражения для энергии термов. В этой модели предполагается, что все внутриатомные кулоновские матричные элементы не зависят от номера орбитали,  $e_g$ -электрон имеет энергию  $+6Dq$ ,  $t_{2g}$ -электрон — энергию  $-4Dq$ , и каждая пара параллельных спинов дает выигрыш в энергии  $-J$ , где  $J > 0$  — параметр хундовского обмена. Построив распределение  $n$ -электронов по  $t_{2g}$ - и  $e_g$ -орбиталям, мы легко можем записать энергию терма с данным спином  $S$ .

Для  $d^2$ -конфигурации имеем терм со спином  $S = 1$  и энергией

$$E_{HS}(d^2) = E_C(d^2) - 8Dq - J. \quad (1)$$

Это состояние основное при всех значениях параметров. Здесь и ниже  $E_C(d^n)$  есть кулоновская (не зависящая от спина) часть энергии. Для  $d^3$ -конфигурации основное состояние также всегда высокоспиновое с  $S = 3/2$  и энергией

$$E_{HS}(d^3) = E_C(d^3) - 12Dq - 3J. \quad (2)$$

Для  $d^4$ -ионов возможны три спиновых состояния:

а) высокоспиновое (HS) с  $S = 2$  и энергией

$$E_{HS}(d^4) = E_C(d^4) - 6Dq - 6J, \quad (3)$$

б) промежуточноспиновое (IS) с  $S = 1$  и энергией

$$E_{IS}(d^4) = E_C(d^4) - 16Dq - 3J, \quad (4)$$

в) низкоспиновое (LS) с  $S = 0$  и энергией

$$E_{LS}(d^2) = E_C(d^2) - 16Dq - 2J. \quad (5)$$

Видно, что низкоспиновое состояние всегда лежит выше промежуточноспинового на величину  $J$ , а состояния HS и IS конкурируют между собой по энергии. При  $\Delta = 10Dq < 3J$  основным является высокоспиновое состояние, а при  $\Delta > 3J$  состояние с  $S = 1$  становится основным, т. е. при  $\Delta = 3J$  происходит спиновый кроссовер HS-IS.

Для  $d^5$ -ионов имеет место конкуренция двух термов:

а) высокоспинового с  $S = 5/2$  и энергией

$$E_{HS}(d^5) = E_C(d^5) - 10J, \quad (6)$$

б) низкоспинового с  $S = 1/2$  и энергией

$$E_{LS}(d^5) = E_C(d^5) - 20Dq - 4J. \quad (7)$$

Состояние  $d^5$  со спином  $S = 3/2$  всегда лежит выше. Спиновый кроссовер HS–LS происходит также при  $\Delta > 3J$ , как и для  $d^4$ -ионов.

Для  $d^6$ -конфигурации промежуточноспиновое состояние также всегда выше высокоспинового и низкоспинового термов, которые и конкурируют по энергии:

а) высокоспиновый с  $S = 2$  и энергией

$$E_{HS}(d^6) = E_C(d^6) - 4Dq - 10J, \quad (8)$$

б) низкоспиновый с  $S = 0$  и энергией

$$E_{LS}(d^6) = E_C(d^6) - 24Dq - 6J. \quad (9)$$

Спиновый кроссовер для  $d^6$ -ионов происходит при меньших значениях  $\Delta = 2J$ , чем для  $d^4$ - и  $d^5$ -ионов.

Для  $d^7$ -конфигурации возможны следующие термы:

а) высокоспиновый с  $S = 3/2$  и энергией

$$E_{HS}(d^7) = E_C(d^7) - 8Dq - 11J, \quad (10)$$

б) низкоспиновый с  $S = 1/2$  и энергией

$$E_{LS}(d^7) = E_C(d^7) - 18Dq - 9J.$$

Для этой конфигурации спиновый кроссовер происходит при  $\Delta = 2J$ , как и в случае  $d^6$ -ионов.

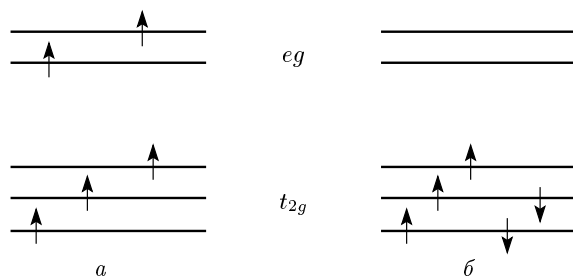
Для  $d^8$ -конфигурации реализуется только высокоспиновое состояние с  $S = 1$  и энергией

$$E_{HS}(d^8) = E_C(d^8) - 12Dq - 13J. \quad (11)$$

Наконец,  $d^9$ -состояние с  $S = 1/2$  имеет энергию

$$E(d^9) = E_C(d^9) - 6Dq - 16J. \quad (12)$$

Для примера на рис. 1 показаны распределения электронов по  $d$ -орбиталям для высокоспинового и низкоспинового термов  $d^5$ -конфигурации, которые поясняют расчет энергий каждого терма.



**Рис. 1.** Схема распределения электронов для  $d^5$ -конфигурации в высокоспиновом (a) и низкоспиновом (б) состояниях

### 3. ПЕРЕХОД МОТТА – ХАББАРДА, ИНДУЦИРОВАННЫЙ КРОССОВЕРОМ ПРИ ВЫСОКОМ ДАВЛЕНИИ

Для  $d^5$ -конфигурации эффективный параметр Хаббарда равен  $U_{eff}(d^5) = E(d^6) + E(d^4) - 2E(d^5)$ . Анализ термов  $d^4$ -,  $d^5$ - и  $d^6$ -конфигураций и спиновых кроссоверов в них показывает, что при вычислении  $U_{eff}$  выделяются три области параметра  $\Delta/J$ .

1)  $\Delta/J < 2$ . Все термы находятся в высокоспиновых состояниях:

$$U_{eff}(d^5) = U(d^5) + 4J - \Delta, \quad (13)$$

где  $U(d^5) = E_C(d^6) + E_C(d^4) - 2E_C(d^5)$ .

2)  $2 < \Delta/J < 3$ . В этой области  $d^6$ -ион перешел в LS-состояние, а  $d^5$  и  $d^4$  остались высокоспиновыми. Для эффективного  $U$  получаем

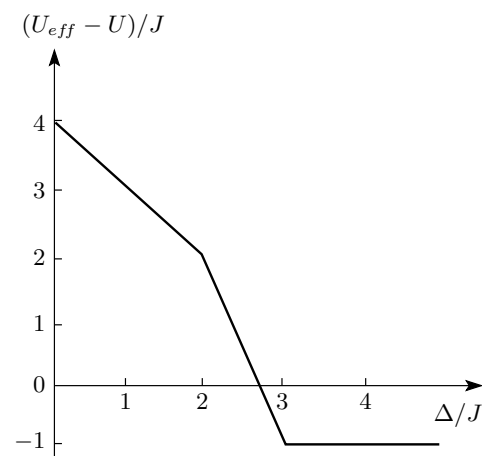
$$U_{eff}(d^5) = U(d^5) + 8J - 3\Delta. \quad (14)$$

3)  $\Delta/J > 3$ . Ионы  $d^6$  и  $d^5$  находятся в низкоспиновом состоянии, а  $d^4$  — в IS-состоянии:

$$U_{eff}(d^5) = U(d^5) - J. \quad (15)$$

Зависимость эффективного параметра Хаббарда  $U_{eff}(d^5)$  от кристаллического поля показана на рис. 2, из которого видно значительное уменьшение электронных корреляций с ростом  $\Delta$ . Общее уменьшение  $\delta U_{eff} = 5J - \Delta_0$ , при типичных для  $3d$ -электронов значениях  $J = 0.8$  эВ,  $\Delta_0 = 1-2$  эВ имеем  $\delta U_{eff} = 2-3$  эВ. С ростом давления атомы сближаются, параметр кристаллического поля растет. Поскольку изменения расстояний относительно малы, с хорошей точностью можно предполагать линейную зависимость

$$\Delta(P) = \Delta_0 + \alpha_\Delta P, \quad (16)$$



**Рис. 2.** Зависимость эффективного параметра Хаббарда от кристаллического поля для  $d^5$ -конфигурации

которая нарушается, очевидно, в точках структурных фазовых переходов первого рода, сопровождаемых скачком параметров решетки и объема элементарной ячейки. В таких точках параметр  $\Delta(P)$  будет также меняться скачком для изоструктурных переходов. Если же меняется и симметрия кристалла, то необходимо более детально рассчитывать энергию термов с учетом низкосимметричных компонент кристаллического поля. Во многих случаях низкосимметричные компоненты малы по сравнению с кубической, что позволяет их не учитывать. Именно так обстоят дела, по-видимому, в ферроборатах  $\text{FeBO}_3$  и  $\text{GdFe}_3(\text{BO}_3)_4$ , спиновые кроссоверы и вся совокупность изменений электронных, магнитных и оптических свойств которых рассматривались нами в работах [6–8]. Скачок  $U_{eff}$ , обсуждаемый в этих работах, обусловлен сопутствующим структурным фазовым переходом первого рода при давлениях  $P \approx 50$  ГПа с изменением объема.

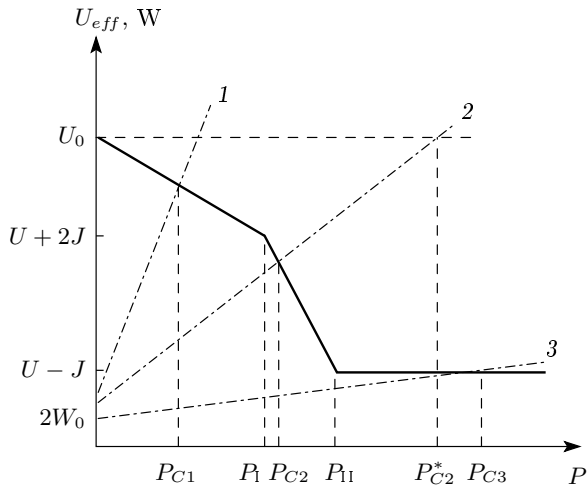
Физический смысл параметра  $U_{eff}$  прост: это энергия, необходимая для перескока  $d$ -электрона с атома на атом. Действительно, в начальном состоянии имеем два  $d^n$ -иона. После перескока электрона с одного на другой в конечном состоянии имеем один  $d^{n+1}$ - и другой  $d^{n-1}$ -ион. Именно эта энергия определяет критерий перехода Мотта – Хаббарда

$$W_C = aU_{eff}, \quad (17)$$

где полуширина зоны  $W$  также зависит от давления:

$$W(P) = W_0 + \alpha_W P. \quad (18)$$

Заметим, что мы не ставим своей целью развитие



**Рис. 3.** Схема, поясняющая новый механизм перехода Мотта–Хаббарда. Сплошная линия изображает зависимость  $U_{eff}(P)$ , штриховая — постоянный параметр  $U_0$ . Штрихпунктирные линии 1, 2, 3 соответствуют разным зависимостям ширины зоны от давления из формулы (18):  $\alpha_{w1} > \alpha_{w2} > \alpha_{w3}$ ;  $P_{C1}$ ,  $P_{C2}$  и  $P_{C3}$  — точки перехода Мотта–Хаббарда

теории перехода Мотта–Хаббарда, которая рассматривалась для модели Хаббарда многими методами: расщеплением высших функций Грина [9], в приближении когерентного потенциала [10], с помощью диаграммной техники для  $X$ -операторов Хаббарда [11], в рамках динамической теории среднего поля [12]. Мы хотим обсудить, почему условие перехода (17) может реализоваться. Как уже обсуждалось во Введении, в стандартной модели Хаббарда  $U_{eff} = U_0$  есть константа, не зависящая от давления. Переход диэлектрик–металл в такой модели обусловлен ростом кинетической энергии электронов с давлением. В англоязычной литературе имеется термин «bandwidth control», явно указывающий на параметр  $W$ , рост которого с давлением приводит к переходу.

Как мы видели выше, для  $d^5$ -ионов ситуация заметно отличается от модели Хаббарда: наряду с ростом ширины зоны одновременно уменьшается корреляционная энергия. Различные варианты перехода Мотта–Хаббарда для  $d^5$ -конфигурации показаны на рис. 3. Здесь изображены левая и правая части критерия перехода (17) как функции давления, для сравнения с механизмом уширения зоны штриховой линией указан постоянный уровень  $U_0 = U + 4J - \Delta(0)$ . Три варианта зависимости ширины зоны  $W(P)$  с разными барическими коэффи-

циентами  $\alpha_{w1} > \alpha_{w2} > \alpha_{w3}$  соответствуют трем разным сценариям перехода. В случае 1 (сильная зависимость ширины зоны от давления) переход Мотта–Хаббарда происходит на фоне высокоспиновых термов  $d^5$ ,  $d^4$  и  $d^6$ . Точки пересечения зависимости  $W_1(P)$  с  $U_{eff}(P)(P_{C1})$  и постоянным уровнем  $U_0(P_{C1}^*)$  мало различаются, основной механизм перехода — уширение зоны. В случае 2 (умеренная зависимость ширины зоны  $W_2(P)$ ) переход имеет место в окрестности спиновых кроссоверов для всех термов  $d^5$ ,  $d^4$  и  $d^6$ . Истинная точка перехода  $P_{C2}$  отвечает значению намного меньшему, чем соответствующая механизму уширения зоны точка  $P_{C2}^*$ . Наконец, в случае 3 (слабая зависимость ширины зоны от давления) переход происходит на фоне низкоспиновых термов  $d^5$ ,  $d^6$  и промежуточного спина  $d^4$ -конфигураций. Здесь точка перехода  $P_{C3} \ll P_{C3}^*$ . Из-за слабой зависимости  $W_3(P)$  переход по механизму уширения зоны был бы недоступен, в то время как уменьшение корреляционной энергии  $U_{eff}(P)$  за счет спинового кроссовера значительно уменьшает значение  $P_{C3}$ . Таким образом, в случае 2 и особенно в случае 3 спиновый кроссовер, индуцирующий переход Мотта–Хаббарда, является преобладающим механизмом перехода.

Для количественного определения точки перехода обозначим точки изломов на рис. 3 как  $P_I$  и  $P_{II}$ . Эти особые значения давления удовлетворяют условиям  $\Delta(P_I) = 2J$  и  $\Delta(P_{II}) = 3J$  и равны

$$P_I = \frac{2J - \Delta_0}{\alpha_\Delta}, \quad P_{II} = \frac{3J - \Delta_0}{\alpha_\Delta}. \quad (19)$$

Полагая для простоты в критерии перехода Мотта–Хаббарда (17) постоянную  $a = 1$ , запишем условия для перехода за счет уширения зоны в точке  $P_C^*$  и с учетом спинового кроссовера в точке  $P_C$  для случая 2 на рис. 3:

$$U_0 = 2(W_0 + \alpha_W P_C^*), \quad (20)$$

$$U + 8J - 3\Delta(P_C) = 2(W_0 + \alpha_P P_C). \quad (21)$$

Здесь  $U_0 = U + 4J - \Delta_0$  — эффективный параметр при нулевом давлении. Таким образом, критические значения давления равны

$$P_C^* = \frac{U_0 - 2W_0}{2\alpha_W}, \quad (22)$$

$$P_C = \frac{U_0 - 2W_0 + 4J - 2\Delta_0}{2\alpha_W + 3\alpha_\Delta}. \quad (23)$$

Без конкретных численных параметров непросто сравнить  $P_C$  и  $P_C^*$ . Однако учитывая, что  $P_C \leq P_{II}$ , выражение (23) для  $P_C$  можно представить в виде

$$P_C \approx P_C^* - \frac{5J - \Delta_0}{2\alpha_W}, \quad (24)$$

из которого явно следует, что  $P_C < P_C^*$  (поскольку  $\Delta_0 < 3J$ ). Численные оценки для параметров, соответствующих  $\text{FeBO}_3$  и  $\text{BiFeO}_3$ , будут приведены ниже в разд. 6, из них будет видно, что  $P_C \ll P_C^*$  для  $\text{BiFeO}_3$ .

#### 4. УСИЛЕНИЕ ЭЛЕКТРОННЫХ КОРРЕЛЯЦИЙ, ИНДУЦИРОВАНИЕ СПИНОВЫМ КРОССОВЕРОМ ДЛЯ $d^6$ -КОНФИГУРАЦИИ

Анализ энергий разных спиновых термов  $d^5$ -,  $d^6$ - и  $d^7$ -конфигураций, определяемых выражениями (6)–(10), показывает, что

$$U_{\text{eff}}(d^6) = E(d^7) + E(d^5) - 2E(d^6) \quad (25)$$

также различается в трех областях параметра  $\Delta/J$ .

1) При  $\Delta/J < 2$  все термы высокоспиновые и

$$U_{\text{eff}} = U - J.$$

2) При  $2 < \Delta/J < 3$  терм  $d^5$  высокоспиновый, а  $d^6$  и  $d^7$  — низкоспиновые:

$$U = U + 3\Delta - 7J.$$

3) При  $\Delta/J > 3$  все термы низкоспиновые и

$$U_{\text{eff}} = U - J + \Delta.$$

В отличие от  $d^5$ -конфигурации, где  $U_{\text{eff}}$  уменьшалась с ростом кристаллического поля (и давления),

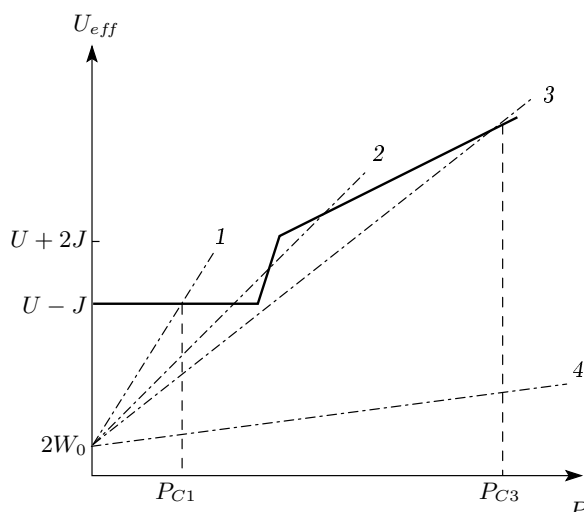


Рис. 4. Зависимость  $U_{\text{eff}}$  от давления для  $d^6$ -конфигурации. Штрихпунктирные линии 1, 2, 3, 4 соответствуют  $\alpha_W_1 > \alpha_W_2 > \alpha_W_3 > \alpha_W_4$

для  $d^6$ -конфигурации ситуация противоположная: корреляционная энергия увеличивается с ростом давления, причем максимальный рост наблюдается в области спиновых кроссоверов (рис. 4). Как и ранее, штрихпунктирные линии 1–4 соответствуют различным барическим коэффициентам  $\alpha_W_i$ . В случае 1 (сильная зависимость  $W$  от  $P$ ) переход происходит на фоне высокоспиновых термов  $d^5$ ,  $d^6$  и  $d^7$  и механизм перехода полностью определяется уширением зоны. В случае 3 (умеренная зависимость  $W$  от  $P$ ) спиновый кроссовер заметно увеличивает щель и критическое значение  $P_{C3}$  по сравнению с механизмом уширения зоны. В случае 4 при  $\alpha_W < \alpha_\Delta$  переход вообще невозможен и при всех параметрах сохраняется диэлектрическая фаза. Отметим, наконец, экзотический случай 2, при котором с ростом давления происходит последовательность переходов диэлектрик–металл–диэлектрик–металл, т. е. в окрестности спинового кроссовера возникают промежуточные металлическое и диэлектрическое состояния. Этот случай возможен при выполнении условий

$$\frac{U - J - W_0}{P_I} < \alpha_W < \frac{U + 2J - W_0}{P_{II}}. \quad (26)$$

#### 5. ЭФФЕКТИВНЫЙ ПАРАМЕТР ХАББАРДА ДЛЯ ДРУГИХ КОНФИГУРАЦИЙ

Используя результаты разд. 2, легко показать, что для конфигураций  $d^2$ ,  $d^4$  и  $d^7$  параметр  $U_{\text{eff}}$  не зависит от давления и равен  $U_{\text{eff}} = U - J$ . Иначе говоря, спиновый кроссовер, имеющий место для  $d^4$ - и  $d^7$ -ионов, не приводит к зависимости  $U_{\text{eff}}$  от давления. Для  $d^1$ - и  $d^9$ -конфигураций спиновые кроссоверы отсутствуют, и для  $U_{\text{eff}}$  получаем то же значение  $U - J$ . В многоорбитальном случае нижний уровень  $d^2$ -конфигурации имеет  $S = 1$ , поэтому  $U_{\text{eff}}$  на величину  $J$  меньше параметра  $U$ , характерного для орбитально невырожденной модели с синглетным  $d^2$ -термом.

Для конфигураций  $d^3$  и  $d^8$  спиновый кроссовер проявляется в возбужденных состояниях (соответственно  $d^4$  и  $d^7$ ). Тем не менее это приводит к следующей зависимости  $U_{\text{eff}}(\Delta)$ :

а)  $d^3$ -конфигурация —

$$U_{\text{eff}}(\Delta) = \begin{cases} U - J + \Delta, & \Delta < 3J, \\ U + 2J, & \Delta > 3J, \end{cases} \quad (27)$$

б)  $d^8$ -конфигурация —

$$U_{eff}(\Delta) = \begin{cases} U - J + \Delta, & \Delta < 2J, \\ U + J, & \Delta > 2J. \end{cases} \quad (28)$$

Мы видим, что для этих конфигураций корреляционная энергия линейно растет с давлением в области высокоспиновых термов  $d^3$ ,  $d^4$  и  $d^2$ , а также  $d^7$ ,  $d^8$  и  $d^6$ , а после кроссовера в низкоспиновые состояния достигает значения насыщения. В результате критическое давление перехода Мотта–Хаббарда возрастает по сравнению с механизмом уширения зоны.

## 6. ОБСУЖДЕНИЕ РЕЗУЛЬТАТОВ И СРАВНЕНИЕ С ЭКСПЕРИМЕНТОМ

Спиновые кроссоверы при высоких давлениях в оксидах 3d-металлов в последнее время активно исследуются. Помимо фундаментальной для физики конденсированного состояния проблемы формирования диэлектрического состояния за счет сильных электронных корреляций и перехода Мотта–Хаббарда, свойства окислов железа при высоких давлениях представляют интерес для геофизики, поскольку эти окислы входят в состав многих минералов, составляющих мантию Земли [13]. Спиновые кроссоверы были обнаружены и исследованы в кристаллах  $\text{FeBO}_3$  [14],  $\text{GdFe}_3(\text{BO}_3)_4$  [7],  $\text{BiFeO}_3$  [15]. Во всех случаях мы имеем ион  $\text{Fe}^{3+}$  в  $d^5$ -конфигурации. Анализ экспериментов в рамках описанного выше многоэлектронного подхода требует знания не только параметров модели при  $P = 0$ : кулоновского  $U$  и обменного  $J$  взаимодействий, ширины зоны  $2W$  и критического поля  $\Delta$ , но и барических коэффициентов  $\alpha_W$  и  $\alpha_\Delta$ . Для ферроборатов эти параметры были определены из сопоставления с экспериментальными данными в работах [6, 7] и получены из расчетов из первых принципов [16]. Для  $\text{FeBO}_3$  диэлектрическая щель уменьшается от 3 эВ в высокоспиновом состоянии до 0.8 эВ в низкоспиновом, что хорошо коррелирует с уменьшением  $U_{eff}$ , показанным на рис. 3. Ширина зоны  $W$  и ее зависимость от давления в  $\text{FeBO}_3$  и  $\text{GdFe}_3(\text{BO}_3)_4$  очень малы в меру малости  $p$ – $d$ -гибридизации, характерной для бороксидных соединений. Дело в том, что  $sp$ -гибридизация внутри  $\text{BO}_3$ -группы очень сильна, и  $p$ -орбитали кислорода настолько деформируются, что их гибридизация с катионом ничтожно мала. Этот вывод следует и из расчетов из первых принципов [17]. Зависимость ширины зоны  $W(P)$  для ферроборатов соответствует случаю 3 на рис. 3, причем точка перехода  $P_C$  лежит выше максимальных значений давления (140 ГПа), до которых измерялась проводимость в работе [18].

Параметры модели для  $\text{FeBO}_3$  следующие [8]:

$$\begin{aligned} U_0 &= 4.2 \text{ эВ}, & J &= 0.8 \text{ эВ}, & \Delta_0 &= 1.5 \text{ эВ}, \\ W_0 &= 0.36 \text{ эВ}, & \alpha_W &= 0.002 \text{ эВ/ГПа}, \\ \alpha_\Delta &= 0.02 \text{ эВ/ГПа}. \end{aligned} \quad (29)$$

Точка перехода для  $\text{FeBO}_3$  определяется случаем 3 на рис. 3 и равна

$$P_C = (U_0 - 2W - 5J + \Delta_0)/2\alpha_W = 250 \text{ ГПа}. \quad (30)$$

Аналогичный спиновый кроссовер из высокоспинового в низкоспиновое состояние  $\text{Fe}^{3+}$  в  $\text{BiFeO}_3$  происходит в том же диапазоне давлений около 50 ГПа, что и в ферроборатах, но в противоположность ферроборатам он сопровождается переходом диэлектрик–металл [15]. Основное отличие электронной структуры  $\text{BiFeO}_3$  от ферроборатов обусловлено более сильной  $p$ – $d$ -гибридизацией, т. е. большей шириной зоны  $W(P)$ . Случай 2 на рис. 3 описывает именно такую ситуацию, в которой спиновый кроссовер приводит к резкому уменьшению  $U_{eff}$ , что индуцирует переход Мотта–Хаббарда при давлениях  $P_{C2}$ , много меньших, чем было бы при обычном механизме уширения зоны  $P_{C2}^*$ . По-видимому, этот случай соответствует  $\text{BiFeO}_3$ . В случае  $\text{BiFeO}_3$  параметры неизвестны. Мы можем предположить, что усиление эффектов ковалентности, в первую очередь, скажется на ширине зоны, поэтому возьмем следующие значения параметров:

$$W_0 = 0.6 \text{ эВ}, \quad \alpha_W = 0.006 \text{ эВ/ГПа}.$$

Остальные параметры, не связанные напрямую с ковалентностью, возьмем такими же, как для  $\text{FeBO}_3$  из равенств (29). Тогда находим из формул (22) и (23), что

$$P_C^* = 250 \text{ ГПа}, \quad P_C = 44.4 \text{ ГПа}.$$

Заметим, что расчет  $P_C$  по упрощенной формуле (24) дает  $P_C = 41.7$  ГПа, что показывает применимость этой формулы при  $P_{II} - P_C \ll P_C$ . Экспериментальное значение  $P_C \approx 54$  ГПа для  $\text{BiFeO}_3$ , что показывает адекватность наших параметров для случая  $\text{BiFeO}_3$ .

Ковалентность не только увеличивает ширину  $d$ -зоны, но и может внести вклад в конкуренцию различных спиновых состояний. Так, недавно в работе [19] было показано методом точной диагонализации кластера  $\text{MeO}_6$  для  $\text{Me} = \text{Fe}^{2+}, \text{Co}^{3+}$ , т. е. для  $d^6$ -катиона, что при определенных параметрах системы возможна стабилизация промежуточно-спинового состояния с  $S = 1$ . Тем не менее этот вывод

справедлив для довольно специфического набора параметров и не является общим. В общем случае, конечно же, основным эффектом  $p$ - $d$ -гибридизации является увеличение интеграла  $d$ - $d$ -перескоков, ширины  $d$ -зоны, параметра сверхобмена.

В заключение отметим, что эффективный параметр Хаббарда зависит от давления, наиболее сильная зависимость наблюдается в окрестности спиноных кроссоверов. Для  $d^5$ -ионов корреляционные эффекты значительно ослабляются, для  $d^6$ -ионов, наоборот, усиливаются с ростом давления. Для других конфигураций зависимость либо слабая, либо совсем отсутствует.

Автор благодарен Д. Хомскому, Дж. Завадскому и М. Хаверкорту за обсуждение результатов. Работа выполнена при финансовой поддержке РФФИ (грант № 07-02-00226) и в рамках программы Президиума РАН «Квантовая макрофизика». Исследование было начато во время работы автора в Институте теоретической физики Кавли при Университете Калифорнии в г. Санта-Барбара и поддержано NSF (грант № PHY05-51164).

## ЛИТЕРАТУРА

1. N. F. Mott, *Metal-Insulator Transitions*, Taylor and Francis, London (1974).
2. J. C. Hubbard, Proc. Roy. Soc. A **276**, 238 (1963).
3. J. Zaanen and G. A. Sawatzky, J. Sol. St. Chem. **88**, 8 (1990).
4. J. Zaanen, G. A. Sawatzky, and J. W. Allen, Phys. Rev. Lett. **55**, 418 (1985).
5. Y. Tanabe and S. Sugano, J. Phys. Soc. Jpn. **9**, 753 (1954).
6. А. Г. Гаврилюк, И. А. Троян, С. Г. Овчинников, И. С. Любутин, В. А. Саркисян, ЖЭТФ **99**, 556 (2004).
7. А. Г. Гаврилюк, С. А. Харламова, И. С. Любутин, И. А. Троян, С. Г. Овчинников, А. М. Поцелуйко, М. И. Еремец, Р. Бёller, Письма в ЖЭТФ **80**, 482 (2004).
8. S. G. Ovchinnikov, J. Magn. Magn. Mat. **300**, 243 (2006).
9. J. C. Hubbard, Proc. Roy. Soc. A **281**, 401 (1964).
10. B. Velicky, S. Kirkpatrick, and H. Ehrenreich, Phys. Rev. **175**, 747 (1968).
11. Р. О. Зайцев, ЖЭТФ **70**, 1100 (1976).
12. A. Georges, G. Kotliar, W. Krauth, and M. Rozenberg, Rev. Mod. Phys. **68**, 13 (1996).
13. S. A. Gramsch, R. E. Cohen, and S. Yu. Savrasov, American Mineralogist **88**, 257 (2003).
14. В. А. Саркисян, И. А. Троян, И. С. Любутин, А. Г. Гаврилюк, А. Ф. Кащуба, Письма в ЖЭТФ **76**, 788 (2002).
15. A. G. Gavriliuk, V. V. Strujkin, I. S. Lyubutin, S. G. Ovchinnikov, M. Y. Hu, and P. Chow, Phys. Rev. B **77**, 155112 (2008).
16. С. Г. Овчинников, В. И. Анисимов, И. А. Некрасов, З. В. Пчелкина, ФММ **99**, № 1, 93 (2005).
17. A. V. Postnikov, St. Bartkowiak, M. Neumann et al., Phys. Rev. B **50**, 14849 (1994).
18. И. А. Троян, М. И. Еремец, А. Г. Гаврилюк, И. С. Любутин, В. А. Саркисян, Письма в ЖЭТФ **78**, 16 (2003).
19. С. Г. Овчинников, Ю. С. Орлов, ЖЭТФ **131**, 485 (2007).